



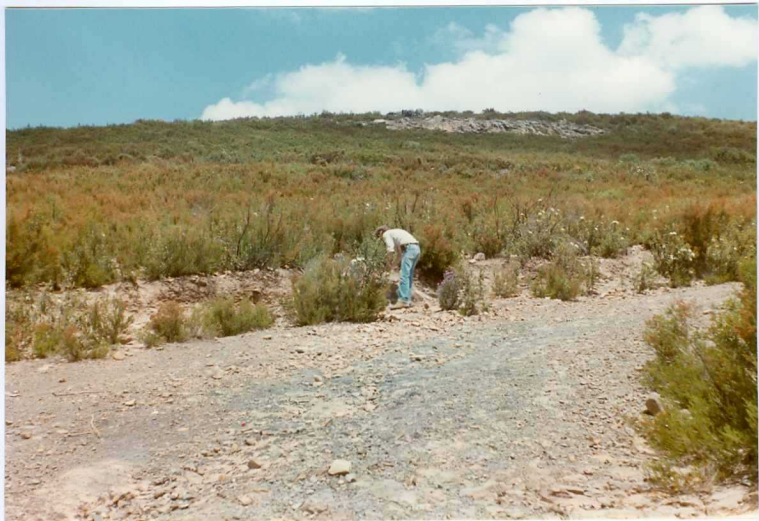
DM 9384

Detalle de las facies de pizarras negras (p) del C.E.G. (8)



DM 9385

Detalle de pizarras gris-vinosas del C.E.G. (8)



DM 9386

Panoramica de pizarras negras y gris vinosas del C.E.G. (8) (en primer plano) y resaltares cuarcíticos de la Unidad I (q) del Ordovicico inferior



DM 9387

Vista parcial de las cuarcitas de la Unidad I (9) del Ordovícico inferior en el Sinclinal de la Sierra de Dios Padre



DM 9388

Panoramica de cuarcitas, areniscas y pizarras de la Unidad II (10) del Ordovícico inferior



DM 9389

Detalle de Scholitus existentes
en los tramos cuarcíticos de la
Unidad II (9) del Ordovícico
inferior



DM 9390

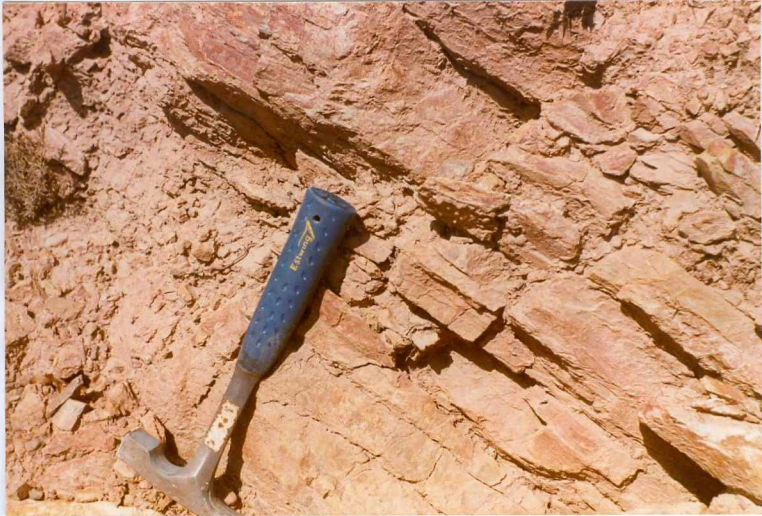
Detalle de bandeado arenoso-pelítico de la Unidad II (9)



DM 9391

Panoramica de los sedimentos del Ordovícico inferior que configuran el sinclinal de la Sierra de Dios Padre.

- 1.- Techo de la Unidad II (9)
- 2.- Unidad III (10)
- 3.- Unidad IV (11)
- 4.- Unidad V (12)



DM 9392

Detalle de niveles pelítico-arenosos de la Unidad III (11)



DM 9393

Detalle de intercalación de niveles cuarcíticos situados hacia el techo de la Unidad III
(11)



DM 9394

Detalle de paquetes cuarcíticos de la Unidad IV (12)



DM 9395

Vista parcial de las cuarcitas blancas de la Unidad IV (12)



DM 9396

Detalle de estratificaciones cruzadas en areniscas de la Unidad IV (12)



DM 9397

Panoramica de los conglomerados de la Unidad V (13)

DM 9398

Detalle de conglomerados de
la Unidad V (13)





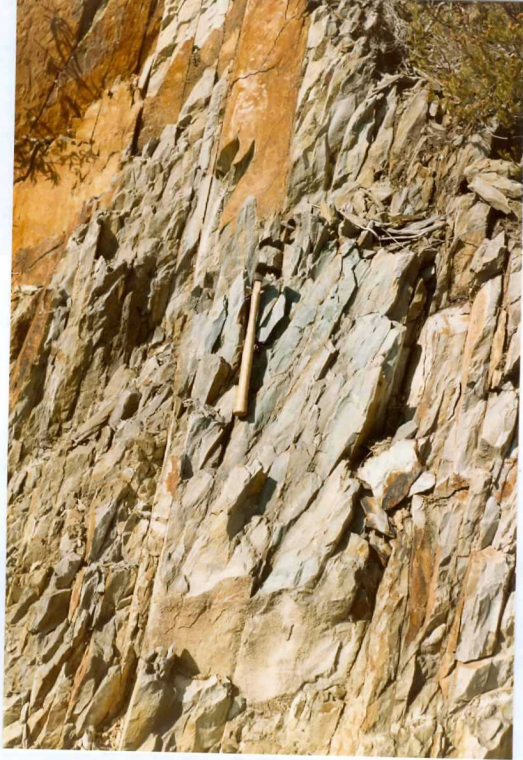
DM 9399

Detalle de pliegue Sardico en
la C.C. de Pinofranqueado a
Robledo.



DM 9400

Panoramica de pliegue de Fase 1 en materiales del C.E.G. localizado en la C.C. de Pinofranqueado a Robledo.



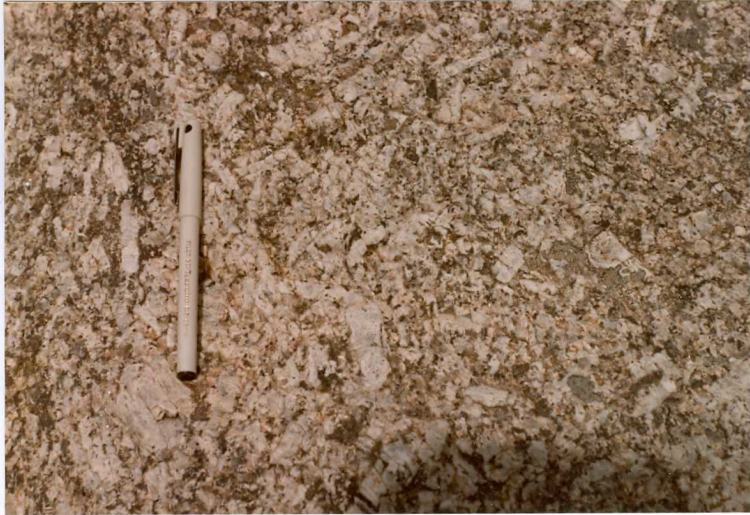
LB 9675

Vista parcial de un afloramiento del C.E.G. (8) donde se observa con claridad la S_0 que presenta un mayor buzamiento que la S_1



LB 9676

Detalle de los granitos deformados (4) de la Unidad de Santibañez



LB 9677

Detalle de los granitos biotíticos porfíridicos (3) de la Unidad de Gata



LB 9678

Vista general del apuntamiento de granito moscovítico (7) de la Unidad Bejar-
Plasencia, al N. de Torrecilla de los Angeles



LB 9679

Aspecto de un dique de cuarzo (2) de dimensiones métricas y de escasa continuidad

LB 9680

Detalle del dique de cuarzo (2)
de la fotografía anterior





LB 9681

Panorámica de la Sierra de Dios Padre formada por sedimentos del Ordovícico inferior. En primer término depósitos del C.E.G. (8)



LB 9682

Aspecto de los depósitos de terraza (14) en la localidad de Pinofranqueado. Se trata del nivel de terraza más alto que aparece en la Hoja y se sitúa a unos 25-30 m del cauce actual del río Los Angeles.



LB 9683

Aspecto de los depósitos de la terraza baja y llanura aluvial (18) relacionada con el río Los Angeles



LB 9684

Vista de la superficie morfológico de una terraza baja (17) del río Esperabán
Tributario del río Los Angeles, al N de la Hoja

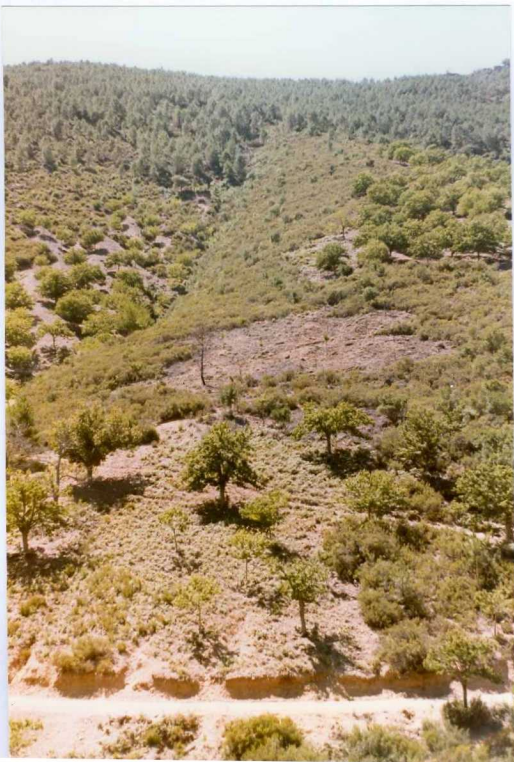


LB 9685

Panorámica del Valle del Arroyo de la Zambrana. Su orientación corresponde con la de la familia de fracturas tardihercinicas N30-70º E.

LB 9686

Aspecto de los depósitos cuaternarios (Derrubios de Ladera, 15) que son una constante en toda la superficie de la Hoja.





LB 9687

Detalle de los depósitos de la fotografía anterior.



LB 9688

Aspecto de los derrubios de ladera (15) adosados a la Sierra de Dios Padre



LB 9689

Detalle de los derrubios de ladera (15) de la fotografía anterior. En este punto las características del sedimento se asemejan más a un depósito de "pie de monte"



LB 9690

Sedimentos del C.E.G. (8) afectados por una de las fases tardías de plegamiento que produce pliegues de plano axial subhorizontal



LB 9691

Detalle de los pliegues de la fotografía anterior